

مجله مخاطرات محیط طبیعی، سال پنجم، شماره دهم، زمستان ۱۳۹۵

تاریخ دریافت مقاله: ۹۵/۰۷/۲۸

تاریخ پذیرش مقاله: ۹۵/۱۰/۱۹

صفحات: ۹۹-۱۱۶

ارزیابی مدل آنتروپی شانون در تهیه نقشه حساسیت و احتمال به وقوع سیل در حوزه آبخیز هراز

ابراهیم نوحانی^{*}^۱، فریبا دارابی^۲، ادریس معروفی نیا^۳، خه بات خسروی^۴

چکیده

یکی از راهکارهای اساسی جهت کاهش خسارت جانی و مالی ناشی از سیل، تهیه نقشه‌های حساسیت به وقوع سیل می‌باشد. در این تحقیق از مدل آنتروپی شانون (SE) که مدلی آماری و دو متغیره می-باشد، جهت تهیه نقشه‌های حساسیت به وقوع سیل استفاده شده است. در این تحقیق ۲۱۱ موقعیت نقاط سیلابی آماده گردید. از ۲۱۱ موقعیت، ۷۰ درصد آن جهت مدلسازی و تهیه نقشه استفاده گردید. از ۳۰ درصد باقی مانده که به صورت تصادفی تهیه شدند جهت اعتبارسنجی نقشه تولید شده استفاده گردید. در این تحقیق از ۱۰ فاکتور موثر شامل شبیب، انحنای زمین، فاصله از رودخانه، طبقات ارتفاعی، بارش، شاخص توان رودخانه، شاخص رطوبت توپوگرافی، لیتوولوژی، کاربری اراضی و NDVI استفاده گردید. توسط مدل یاد شده وزن تاثیر هر فاکتور موثر در وقوع سیل مشخص گردید. منحنی ROC ترسیم و سطح زیرمنحنی (AUC) برای اعتبارسنجی نقشه حساسیت به وقوع سیل محاسبه گردید. نتایج نشان داد که سطح زیرمنحنی با موقعیت‌های نقاط آموزش برای مدل آنتروپی شانون برابر با 0.9253 ± 0.052 ٪ با صحت پیش‌بینی 0.9142 ± 0.0142 ٪ می‌باشد. پس صحت بالای این مدل حاکی از قابل اعتماد بودن آن، جهت نهیه نقشه حساسیت به وقوع سیل می‌باشد.

وازگان کلیدی: آنتروپی شانون، هراز، حساسیت به وقوع سیل، AUC

۱- استادیار گروه عمران سازه‌های هیدرولیکی، دانشگاه آزاد اسلامی، واحد دزفول، باشگاه پژوهشگران جوان و نخبگان، دزفول Nohani.e@iaud.ac.ir

۲- دانشجوی کارشناسی ارشد آبخیزداری، دانشکده منابع طبیعی، دانشگاه ملایر، همدان

۳- دانشگاه آزاد اسلامی، واحد مهاباد، باشگاه پژوهشگران جوان و نخبگان، مهاباد

۴- دانشجوی دکتری آبخیزداری، دانشکده منابع طبیعی، دانشگاه علوم کشاورزی و منابع طبیعی ساری، مازندران

مقدمه

سیل یعنی هرگونه افزایش در جریان رودخانه که از ظرفیت رودخانه بیشتر باشد و پهنه‌ای از زمین راکه در شرایط عادی زیرآب نیست، فرآگیرد (مسلمی، ۱۳۸۵). در بین انواع بلایای طبیعی سیل به عنوان یکی از مخرب ترین آنها با خسارت بسیار زیاد در نظر گرفته شده است (Youssef et al, 2011). همواره طغیان آب و سرازیر شدن آن به اماكن مسکونی، از جمله حوادث طبیعی شایع در ایران پس از زلزله است که حیات بشر را به مخاطره می‌اندازد. هرساله در شهرهای شمالی ایران از قبیل استان‌های مازندران، گیلان و گلستان سیل‌های مهیبی اتفاق می‌افتد. با توجه به وقوع این سیل‌ها مکان‌های با بیشترین پتانسیل برای وقوع سیل (مناطق حساس) باید قبل از برنامه‌ریزی توسط نقشه‌های حساسیت به وقوع سیل مشخص گردند (Bubeck et al, 2012) تا خسارات جانی و مالی ناشی از سیلاب‌های آتی را کاهش داد (Kourgialas and Karatzas, 2011). در صورت ریزش بیش از اندازه باران به‌ویژه به شکل رگباری آن با توجه به شرایط ناهمواری و پوشش گیاهی منطقه، قسمت اعظم آن بصورت رواناب در آمده و پس از مدت کوتاهی بصورت سیل جاری شده و خسارات زیادی را با خود به همراه می‌آورد. روند رو به افزایش سیل در سال‌های اخیر حاکی از آن است که اکثر مناطق کشور در معرض تهاجم سیلاب‌های ادواری و مخرب قرار دارند و ابعاد خسارات و تلفات جانی و مالی سیل افزایش یافته است، که از دلایل تکرار فراوان این پدیده در نتیجه برهم خوردن تعادل هیدرولوژیکی و اکولوژیکی (Miller et al, 2002) همانند شهرسازی (در طول رودخانه‌ها) و تغییر اقلیمی (Kjeldsen, 2010; Tehrany et al, 2015a) و همچنین قطع جنگل‌ها می‌باشد (Bronstert, 2003). چنانچه ابعاد و گسترده‌گی پیامدهای و قوع سیل (مستقیم و غیرمستقیم) از لحاظ اقتصادی مورد ارزیابی قرار گیرد آنگاه پرداختن به مسائلی چون سیل در اولویت قرار می‌گیرد (خسروشاهی و ثقیان، ۱۳۸۴). سیلاب‌ها علاوه بر هزینه‌های اقتصادی زیاد، باعث انتقال پاتوژن‌ها به محیط‌های شهری و روستایی شده و باعث توسعه میکروبی در ساختمانها و زیرساختها می‌شود (Taylor et al, 2011). برای پیشگیری و مهار سیلاب باید در درجه اول مناطقی که پتانسیل بالایی در تولید سیل دارند تعیین و سپس عوامل تولید و ایجاد سیل شناسایی شوند. اخطار سریع و پاسخ اضطراری به وقوع سیلاب مورد نیاز است (Feng and Wang, 2011) بنابراین دولت می‌تواند از بروز خسارت تا حدی که ممکن است جلوگیری کنند (Tehrany et al, 2014a). برای تهیه نقشه‌های سیلگیری روش‌هایی متفاوت هیدرولوژیکی (HEC-RAS) و هیدرولوژیکی وجود دارد. در سالهای اخیر مدل‌های آماری و احتمالاتی زیادی برای نقشه حساسیت به وقوع سیل آزمایش شده است (Lee et al, 2012; Levy et al, 2007) و GIS نیز به عنوان ابزار آنالیز پایه برای مدیریت مکانی و دستکاری داده‌ها به دلیل توانایی آن در هندلینگ مقادیر زیادی از داده‌های مکانی به کار رفته است (Oh and Pradhan, 2011). ترکیب مدل‌های آماری و احتمالاتی با RS و GIS بسیار مورد توجه محققین قرار گرفته است.

تهرانی و همکاران^۲ (۲۰۱۵a) توسط تکنیک SVM با ۴ تابع Radial Basis Function، Polynomial، Linear و Sigmoid به بررسی پنهان بندی مناطق حساس به وقوع سیل در مالزی پرداختند. آنها بیان کردند که مساحت سطح زیر منحنی (AUC) به ترتیب برای توابع فوق برابر با٪۸۴/۶۳، ٪۸۳/۹۲، ٪۸۱/۸۸ و ٪۸۱/۸۸ است.

تهرانی و همکاران^۳ (۲۰۱۴b) به ترکیب مدل SVM با^۳ WoE به ترتیب برای توابع RBF-SVM-WOE سطح زیر منحنی برای نرخ موفقیت و نرخ پیش بینی به ترتیب برابر با٪۹۶/۴۸ و ٪۹۵/۶۷ می باشد.

تهرانی و همکاران^۴ (۲۰۱۴a) در تحقیقی تحت عنوان نقشه حساسیت به وقوع سیل توسط ترکیب مدل‌های آماری دو متغیره و چند متغیره در کره پرداختند. نتایج نرخ موفقیت و نرخ پیش بینی به ترتیب برابر با٪۹۲/۷ و ٪۸۲/۳ می باشد.

خسروی و همکاران^۴ (۲۰۱۶) به بررسی سه مدل آماری دومتغیره شامل آنتروپی شانون، شاخص آماری و فاکتور وزندهی جهت تهیه نقشه های حساسیت به وقوع سیل در استان مازندران پرداختند و بیان نمودند که روش شاخص آماری با مساحت زیر منحنی ٪۹۸/۷ درصد دارای بیشترین صحت جهت پنهان بندی مناطق حساس به وقوع سیل بوده و پس از آن مربوط به روش‌های فاکتور وزندهی و آنتروپی شانون با مساحت زیر منحنی های ٪۹۷/۶ و ٪۹۲/۴ درصد می باشد. بنابراین هدف از این تحقیق ارزیابی کارایی این مدل، در تهیه نقشه حساسیت به وقوع سیل می باشد. از دیگر اهداف این تحقیق، شناسایی مناطق حساس به وقوع سیل، جهت مدیریت و راهکارهای اساسی، جهت کاهش خسارات جانی و مالی می باشد.

داده ها و روش شناسی

منطقه مورد مطالعه

حوضه آبخیز هراز بین ۴۳° تا ۵۱° طول شرقی و ۳۵° تا ۵۲° طول شمالی واقع شده است. منطقه مورد مطالعه در جنوب شهرستان آمل و استان مازندران (ایران) واقع شده است. وسعت حوضه آبخیز به صورت تقریبی ۴۰ کیلومترمربع می باشد. حداقل ارتفاع حوضه ۳۰۰ متر و حداقل ارتفاع آن ۵۶۰۰ متر می باشد. میانگین بارندگی سالانه برای سال ۲۰۰۶ برابر با ۷۲۳/۰۷ میلیمتر و برای سال ۲۰۱۲ برابر با ۴۰۱۴ کیلومترمربع می باشد. مرکز مهم سکونتی حوضه آبخیز هراز عبارتند از پلور، نشل، تیران، رینه، کندوان، آب اسک، گزنک، بایجان، بلقلم، بلده و نور می باشند (شکل ۱). به علت اینکه سیل های مخرب و ویرانگر بسیاری در این حوضه رخ داده و باعث

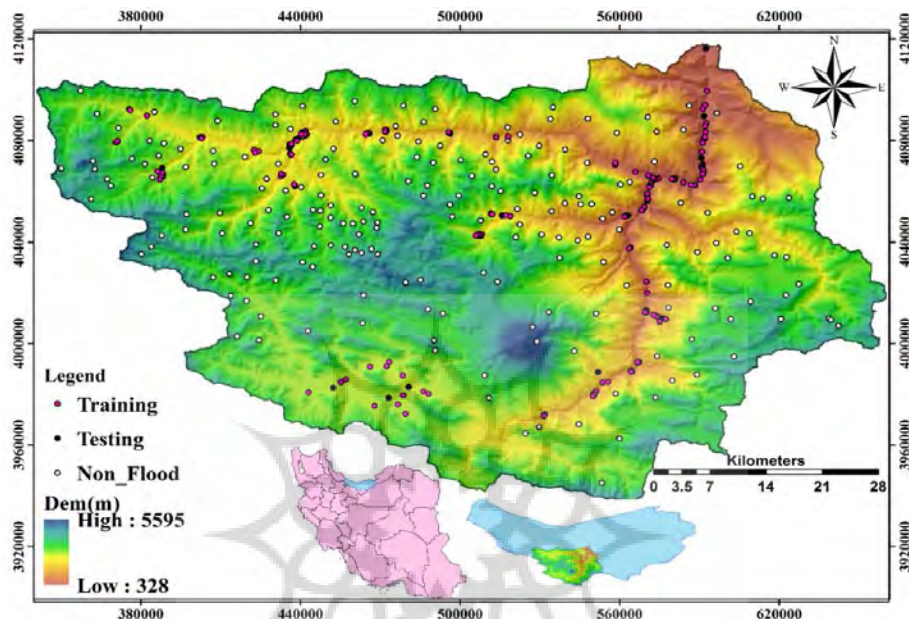
¹-support vector machine

² - Tehrany et al.

³ -Weights of evidence

⁴ - Khosravi et al.

خسارات جانی و مالی بسیاری گشته است، این حوضه انتخاب گردید. در شکل ۱ منطقه مورد مطالعه و همچنین موقعیت نقاط سیلابی نشان داده است.



شکل ۱: موقعیت حوزه آبخیز هراز، در استان مازندران و ایران

روش تحقیق

فهرست وقوع سیل های گذشته

به منظور ارزیابی پتانسیل سیل، تجزیه و تحلیل سیل های ثبت شده ضروری است (Manandhar, 2010). صحت وقایع سیلابی گذشته تاثیر بسیار بالایی بر روی صحت نقشه حساسیت به وقوع سیل دارد (Merz et al, 2007). حوزه آبخیز هراز در دهه های اخیر بهشدت تحت تأثیر سیل های خطرناک بوده است. یک نقشه از موقعیت ۲۱۱ نقطه سیلابی در حوزه آبخیز هراز تهیه گردید. این ۲۱۱ نقطه به دو گروه تقسیم تقسیم بندی گردید. ۷۰ درصد از موقعیت نقاط برای آموزش و مدلسازی و ۳۰ درصد موقعیت نقاط که در مدلسازی به کار گرفته نشدند برای اعتبارسنجی مورد استفاده قرار گرفتند.

انتخاب پارامترهای مؤثر در وقوع سیل

مهمترین عوامل و فاکتورهای مؤثر در وقوع سیل شامل شیب، انحنای زمین، فاصله از رودخانه، طبقات ارتفاعی بارندگی، شاخص رطوبت توپوگرافی (TWI)، شاخص توان رودخانه (SPI)، کاربری اراضی، و NDVI بر وقوع سیل در حوزه های آبخیز تأثیرگذارند (Tehrany et al, 2015a,b ; Tehrany et al, 2014 a,b; Tehrany et al, 2013).

رواناب سطحی یکی از عوامل شیب زمین به دلیل تأثیر مستقیم مهم در وقوع سیل حوزه‌های آبخیز به شمار می‌رود. هرچه شیب زمین بیشتر باشد قدرت نقود رواناب کمتر و رواناب تشکیل شده دارای سرعت و قدرت بیشتری می‌باشد. جهت تهیه نقشه شیب از مدل رقومی ارتفاع (DEM) (با قدرت تفکیک ۲۰ متر) و نرم افزار ArcGIS استفاده شد. پس از تهیه این نقشه، به ۵ کلاس ۰/۷-۰، ۵/۸ تا ۱۶، ۱۵/۹ تا ۲۴/۷، ۲۴/۶ تا ۳۳/۳ و ۳۳/۴ تا ۶۶/۸ تقسیم بندی گردید (شکل ۲ a). دومین عامل در نظر گرفته شده در این تحقیق که بر وقوع سیل و سیل گیری موثر می‌باشد انحنای زمین است. نقشه انحنای زمین توسط مدل رقومی ارتفاع و نرم SAGA GIS2 تهیه شد. نقشه مزبور به سه کلاس انحنای مقعر، انحنای محدب و تخت (بدون انحنای) کلاس بندی شد (شکل ۲ b). برای تهیه لایه فاصله از رودخانه، از نقشه رقومی رودخانه توسط دستور multiring buffer در نرم افزار ArcGIS10.1 استفاده شد و به ۶ کلاس ۵۰۰ متر، ۱۰۰۰ متر، ۱۵۰۰ متر، ۲۰۰۰ متر و بیشتر از ۲۵۰۰ متر تقسیم بندی گردید (شکل ۲ c). فاصله از رودخانه نقش اساسی را در پخش و بزرگی سیلان در منطقه دارا می‌باشد (Glenn et al, 2012; Wan et al, 2010) در سالهای اخیر به دلیل تغییر اقلیم بارندگی‌ها بیشتر به صورت رگباری (شدت زیاد در مدت کم) تبدیل گشته و در مدت زمان بسیار کمی، مقدار زیادی باران نازل گشته و به علت کمبود پوشش گیاهی، سفت شدن خاک سطحی و شیب زیاد منطقه، اجازه نفوذ باران باریده شده وجود ندارد و باعث جاری شدن حجم زیادی از رواناب از دامنه کوهها به صورت سیل به داخل رودخانه می‌شود که در ارتفاعات پایین‌تر، در جاهایی که شیب کمتر می‌کردد و انحنای زمین به صورت فلت می‌باشد سیل‌های مهیبی رخ می‌دهد. جهت تهیه فاکتور موثر طبقات ارتفاعی از مدل رقومی ارتفاع در نرم افزار ArcGIS10.1 استفاده شد. این فاکتور موثر برآ اساس روش natural break ۱۱۴۲-۱۱۴۲ کلاس به ۱۰ ۱۱۴۳-۱۶۵۹، ۱۱۴۳-۱۶۵۹، ۳۲۸-۳۴۷۱، ۳۰۷۷-۳۴۷۱، ۳۰۷۷-۳۹۵۵ و بزرگتر از ۳۹۵۵ تقسیم بندی گرد (شکل ۲ d). دوفاکتور مهم SPI و TWI به فاکتورهای در ارتباط با آب مشهور و شناخته شده هستند (Nampak et al, 2014). که توسط نرم افزار SAGA GIS2 تهیه شدند. TWI مقدار تجمع جریان در هر مکان در حوزه آبخیز و روند جریان به سمت پایین دست توسط نیروی ثقل تعریف می‌گردد (Gokceoglu et al, 2005). رابطه ۱ توسط پورقادسی و همکاران^۱ (۲۰۱۲) و مور و همکاران^۲ (۱۹۹۱) جهت تهیه شاخص رطوبت توپوگرافی مورد استفاده قرار گرفته است:

$$TWI = \ln(AS / \tan \beta) \quad (1)$$

که مساحت ویژه حوزه آبخیز بر حسب (m^2/m) و β زاویه شیب به درجه می‌باشد. نقشه TWI تهیه و به ۱۰ کلاس ۱/۹-۷/۳، ۴/۱، ۳/۸، ۴/۲-۴/۵، ۴/۶-۴/۹، ۵/۴-۵/۷، ۵-۵/۳، ۵/۸-۶/۲، ۶/۳-۷، ۶/۱-۸ و ۱۱/۵-۸/۱ طبقه بندی شد که در شکل ۲ e نشان داده شده است. SPI نیز توسط رابطه ۲ تهیه و به ۱۰ کلاس تقسیم بندی گردید (شکل ۲ f).

1 - pourghasemi et al.

2 - Moore et al.

$$SPI = (AS \times \tan \beta) \quad (2)$$

از دیگر عاملهای مهم در وقوع سیل، عامل بارندگی می باشد که در ارزیابی پتانسیل سیل حوزه های آبخیز دارای اهمیت فراوانی است. به منظور تهیه نقشه میانگین بارندگی از داده های بارندگی ۱۷ ایستگاه باران سنج در یک دوره زمانی ۲۰ ساله (۱۳۷۰-۱۳۹۰) استفاده شد. پس از بررسی دقت روش های مختلف درون یابی در نرم افزار ArcGIS10.1، نقشه توزیع میانگین بارندگی سالانه حوزه آبخیز گلستان بر اساس روش کریجینگ ساده به دلیل دلیل داشتن کمترین مقدار RMSE و MAE تهیه گردید (شکل ۲). زمین شناسی به طور کلی به علت داشتن سازنده های مختلف نقش مهمی را در وقوع سیل بازی می کند. این لایه با فرمت .shp از اداره اب منطقه ای استان مازندران گرفته شد و به ۳ کلاس سنوزوییک، مژوزوییک و پالوزوییک بر اساس تحقیقات رحمتی و همکاران^۱ (۲۰۱۵) تقسیم بندی گردید که در شکل ۲ نشان داده شده است. تهیه نقشه کاربری اراضی و NDVI با استفاده از تصویر سنجنده LOI مربوط به ماهواره Landsat 8 تهیه شد. نقشه کاربری اراضی با استفاده از الگوریتم شبکه عصبی و طبقه بندی نظارت شده در محیط نرم افزار ENVI 5.1 به هفت کلاس مرتع، اراضی لخت و فاقد پوشش، جنگل، باغ، اراضی آبی، مسکونی و پهنه های آبی کلاس بندی شد (شکل ۲(i)). نقشه NDVI نیز که نشان دهنده پوشش سطحی گیاهان و تراکم آنها در تصاویر می باشد تهیه و در ۱۰ کلاس طبقه بندی شد (شکل ۲(j)). این شاخص بین -۱ تا +۱ می باشد. با افزایش پوشش گیاهی، میزان ارزش حاصل از این نسبت گیری نیز افزایش می یابد. مقادیر NDVI از طریق معادله زیر محاسبه شدند (Pradhan et al, 2010):

$$NDVI = (NIR - VIS) / (NIR + VIS) \quad (3)$$

که VIS و NIR به ترتیب اندازه گیری بازگشت طیف نور مرئی و مادون قرمز نزدیک می باشد.

مدل آنتروپی شانون جهت تهیه نقشه حساسیت به وقوع سیل

شاخص آنتروپی مقياسي از مقدار برابري است که در آن گروه ها به طور مساوی و يکنواخت در بين واحد های سازمانی توزيع شده اند (Massey and Nancy, 1988). تیل (Tiel, ۱۹۷۲)^۲ شاخص آنتروپی را به عنوان اندازه گیری اختلاف متوسط بين سهم گرووه های واحد از سیستم ها به عنوان یک کل تعريف می کند. آنتروپی یکی از رویکردهای مدیریتی است که به منظور برخورد با بی نظمی، بی ثباتی، اغتشاش و عدم یقین های موجود در یک سیستم مورد استفاده قرار می گیرد (Yufeng and Fengxiant, 2009). رابطه یک به یکی بين کمیت و مقدار آنتروپی سیستم و درجه بی نظمی وجود دارد که اصول بولتزمن^۳ نامیده می شود که برای نمایش وضعیت ترمودینامیک یک سیستم مورد استفاده قرار می گیرد. آنتروپی در حقیقت بیان گر آن است که چگونه از بین عوامل

1 - Rahmati et al.

2 - Theil

3- Boltzmann

موثر یک هدف، می توان مهمترین عوامل را تخمین زد یا به عبارتی متغیرهایی که بیشترین تاثیر را در رخداد یک واقعه دارند برای ما مشخص من نماید (پورقاسمی و همکاران، ۱۳۹۲). از آن جایی که در پنهانبندی حساسیت به وقوع بلاای طبیعی نظری لغزش، سیلاب و... بسته به شرایط منطقه معمولاً فاکتورهای مختلفی تاثیر گذار بوده و همچنین در تعیین میزان خطر با استفاده از مدل های آماری دومتغیره و احتمالاتی نظری بیزین^۱، تمامی عوامل موثر بر وقوع سیل وزن یکسانی دارند لذا چنانچه یکی از عوامل تاثیر بیشتری داشته باشند میزان اثر آن نادیده گرفته می شود (Ramakrishna et al, 2005) بنابراین تئوری مذکور می تواند به عنوان یک رویکرد مدیریتی تاثیر بسزایی در شناسایی عوامل موثر و میزان تاثیر گذاری آنها داشته باشد (Sharma et al, 2010). معادلات به کار رفته شده برای محاسبه ضریب اطلاعات (V_j) نشان دهنده میزان ارزش پارامتر از کل می باشد که بر اساس معادله زیر تعیین شده است(پورقاسمی و همکاران، ۱۳۹۲ و نقیبی و همکاران^۲):

$$E_{ij} = \frac{FR}{\sum_{j=1}^{M_j} FR} \quad (1)$$

که در آن FR نسبت فراوانی و E_{ij} چگالی احتمال می باشد.

$$H_j = -\sum_{i=1}^{M_j} E_{ij} \log_2 E_{ij}, j=1, \dots, n \quad (2)$$

$$H_{j_{\max}} = \log_2 M_j, M_{j-number\ of\ classes} \quad (3)$$

$$I_j = (H_{j_{\max}} - H_j / H_{j_{\max}}), I = (0,1), j = 1, \dots \quad (4)$$

$$V_j = I_j FR \quad (5)$$

که H_j و $H_{j_{\max}}$ مقادیر (ارزش های) آنتروپی؛ I_j ضریب اطلاعات و M_j تعداد کلاس ها می باشد. همچنین V_j نمایش دهنده ارزش وزن برایند از پارامتر کلی می باشد. دامنه تغییرات بین صفر و ۱ می باشد. مقادیر نزدیک به ۱ ناهماهنگی و عدم تعادل بیشتری دارد. محاسبه کامل تعیین وزن هر یک از عوامل در جدول (۱) نشان داده شده است. بعد از تعیین وزن هر یک از عوامل این وزن در هر یک از عوامل اولیه اعمال گردید. در مرحله بعد برای تهیه شاخص حساسیت به وقوع سیل(FSI)، تمامی این عوامل در محیط ArcGIS روی هم قرار گرفته و با استفاده از معادله زیر تهیه شدند:

$$FSI = \sum (SE)_i (i = 1, 2, 3, \dots, n) \quad (6)$$

1 - Bayesian

2 - Naghibi et al.

که در آن FSI نشان دهنده شاخص پتانسیل وقوع سیل، SE شانون آنتروپی هر عامل و n تعداد کل عوامل می‌باشد. در نهایت شاخص پتانسیل وقوع سیل بدست آمد. از مزایای این مدل این است که به سادگی می‌توان رابطه بین متغیرهای وابسته و مستقل را به صورت کمی محاسبه نمود.

ارزیابی و اعتبارسنجی مدل انتروپی شانون

با توجه به اینکه برای ارزیابی مدل نمی‌توان از همان موقعیت نقاط سیلابی استفاده نمود که در پنهانه بندی استفاده شده اند (Komac, 2006) بنابراین، در مدلسازی‌ها، داده نیاز است که به دو دسته آموزش و اعتبارسنجی تقسیم بندی گردد، گروه داده‌های آموزش و گروه داده‌های پیش‌بینی. تقریباً ۷۰٪ از سیلاب‌ها به عنوان آموزش جهت کالیبراسیون مدل به کار گرفته شد و ۳۰٪ باقی مانده (در آموزش مدل مورد استفاده قرار نگرفت) به عنوان نقاط اعتبارسنجی برای ارزیابی پیش‌بینی مدل به کار گرفته شد. سپس با استفاده از منحنی^۱ ROC صحت نقشه تهیه شده مورد تایید قرار گرفت (Nefeslioglu et al.; 2008 pradhan and Lee, 2011). ایده آل ترین مدل، بیشترین سطح زیر منحنی را دارد.

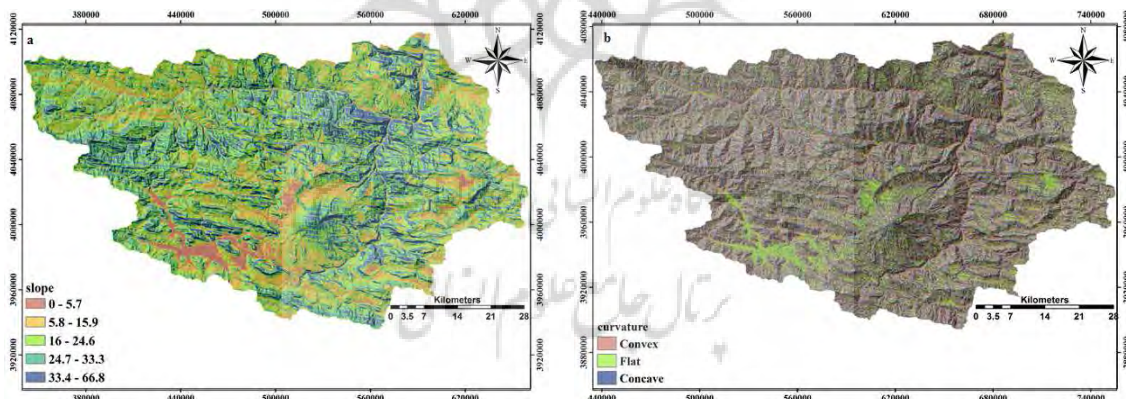
بحث و نتایج

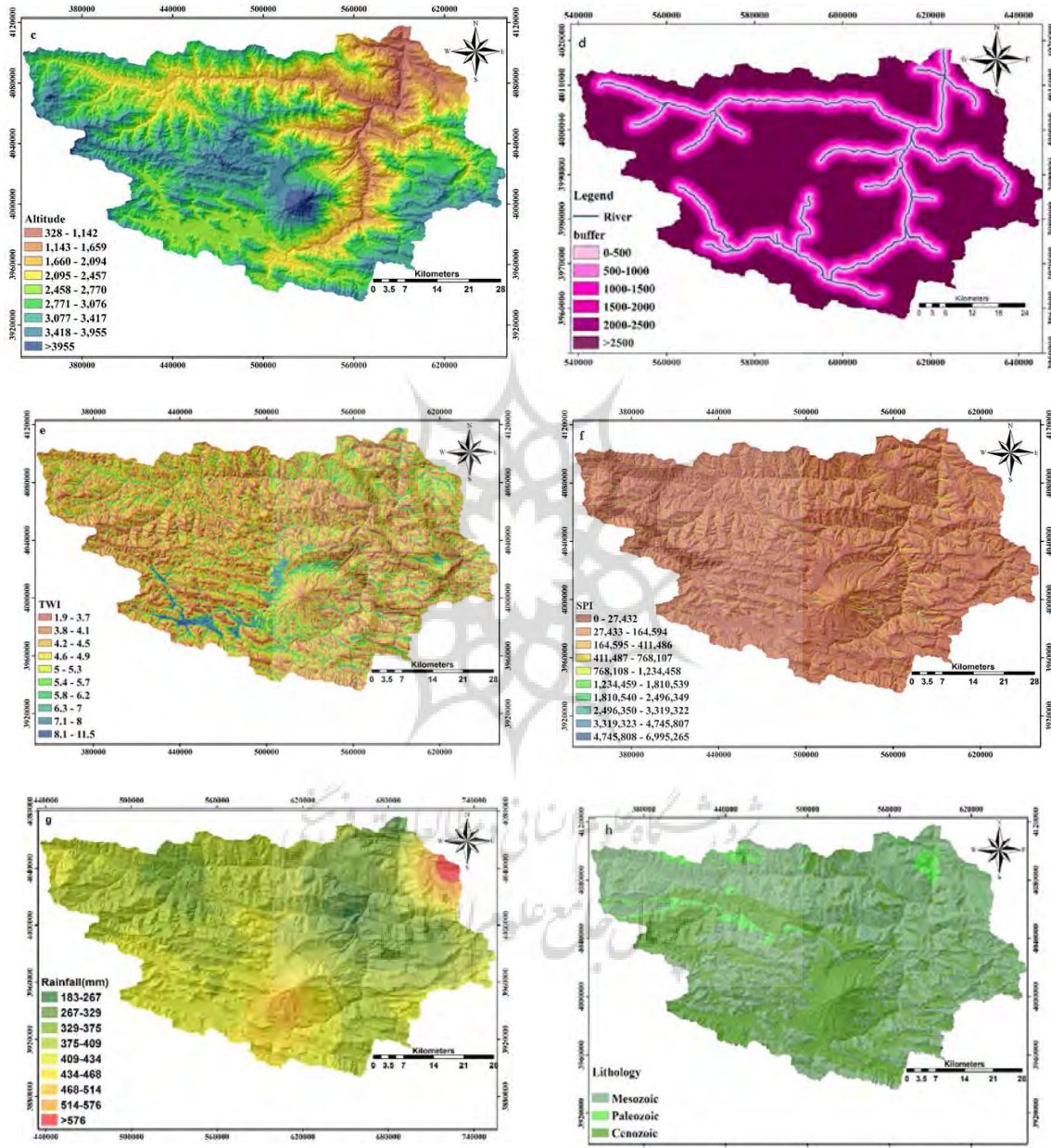
نقشه پارامترهای ورودی به مدل انتروپی شانون شامل شب، انحنای زمین، فاصله از رودخانه، طبقات ارتفاعی بارندگی، شاخص رطوبت توپوگرافی (TWI)، شاخص توان رودخانه (SPI)، کاربری اراضی، و NDVI در شکل (۲) مشاهده می‌گردد.

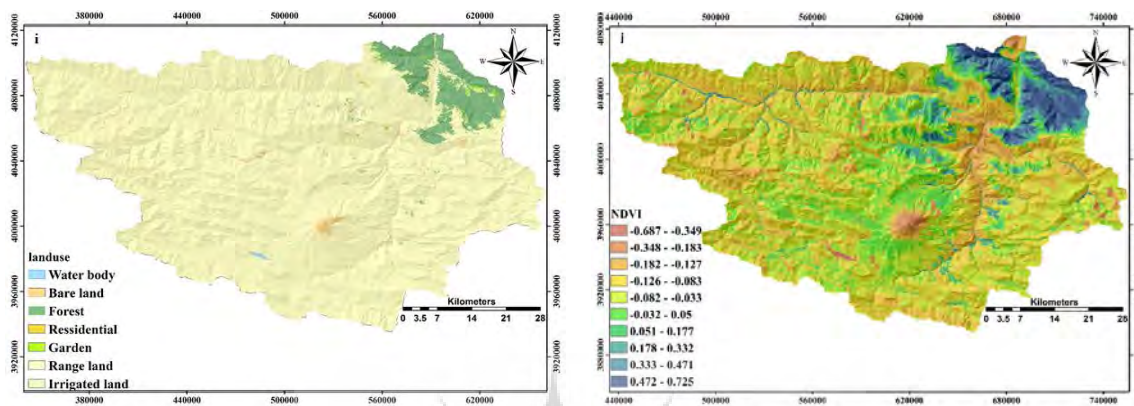
نرخ تأثیر کلاس پارامترهای مؤثر در سیل‌گرفتگی

تجزیه و تحلیل‌های مقایسه‌ای بین موقعیت وقوع سیل‌های گذشته و پارامترهای محیطی مؤثر بر وقوع سیل توسط روش نسبت فراوانی(FR) و انتروپی شانون انجام گرفت و براساس آن، وزن هریک از پارامترها بدست آمد. وزن‌های مؤثر هریک از پارامترها برای مدل انتروپی شانون جهت تهیه نقشه حساسیت به وقوع سیل در جدول (۱) مشاهده می‌گردد. برای فاکتور شبکه کلاس‌های ۰-۵/۹ و ۰-۵/۸ حساسیت تأثیر بر وقوع سیل می‌باشد، زیرا دارای Eij بیشتری می‌باشد. وزن لایه شبکه جهت تهیه نقشه حساسیت به وقوع سیل طبق مدل آنتروپی شانون ۰/۸۴۷ می‌باشد. دومین فاکتور مؤثر انحنای زمین می‌باشد که مناطق مسطح و مقعر دارای تأثیر بیشتر بوده و وزن این لایه در وقوع سیل ۰/۱۳ می‌باشد. از دیگر فاکتورهای مهم و مؤثر در وقوع سیل فاصله از رودخانه می‌باشد که تأثیر کلاس ۰-۵۰۰ متر در وقوع سیل بسیار بیشتر از سایر کلاس‌ها بوده و وزن خود لایه فاصله از رودخانه در تهیه نقشه نهایی حساسیت به وقوع سیل ۱/۱ می‌باشد. طبقات ارتفاعی از دیگر فاکتورهای مؤثر بر وقوع سیل بوده که تأثیر بسیار زیادی بر وقوع سیل دارد. معمولاً سیل در طبقات ارتفاعی پایین رخ می‌دهد. ۴ طبقه اول این لایه (از ۳۲۸ تا

۲۴۵۶ متر) دارای بیشترین تاثیر بر وقوع سیل می باشد. وزن لایه طبقات ارتفاعی طبق مدل آنتروپی شانون ۹۹۵/۰ می باشد. برای فاکتور شاخص رطوبت توپوگرافی، طبق جدول ۱، هرچه مقدار این فاکتور بیشتر گردد، تاثیر آن در وقوع سیل بیشتر می گردد. وزن خود لایه TWI در وقوع سیل ۰/۳۰ می باشد. برای فاکتور SPI طبق جدول ۱، هرچه مقدار این فاکتور کمتر باشد تاثیر آن در وقوع سیل بیشتر می باشد. وزن خود لایه SPI طبق مدل آنتروپی، ۱۰۹/۰ می باشد. پارامتر سنگ شناسی به ۳ گروه تقسیم بندی شده است که مزووزویک و پالئوزوویک تاثیر بیشتری در وقوع سیل دارند. لایه سنگ شناسی دارای وزن ۰/۴۲ می باشد. برای فاکتور کاربری اراضی خاک های لخت، مناطق مسکونی و پهنه های ای دارای تاثیر بیشتری در وقوع سیل می باشند. مناطق مسکونی به دلیل اینکه در نزدیک رودخانه ها و مناطق با شیب کم احداث می شوند و همچنین دارای سطح نفوذ ناپذیر هستند دارای پتانسیل بالا در وقوع سیل می باشند. وزن لایه کاربری اراضی در وقوع سیل، نسبت با سایر پارامترها ۰/۲۲ می باشد. شاخص NDVI یا شاخص اختلاف پوشش گیاهی نرمال شده از دیگر فاکتورهای موثر در وقوع سیل طبق مرور منابع می باشد. بیشترین وزن کلاس این لایه مربوط به ۰/۶۹ - ۰/۳۵ می باشد و وزن خود لایه در وقوع سیل ۰/۰۳ است. آخرین فاکتور که یکی از مهمترین آنها نیز می باشد، فاکتور بارندگی است. وزن این لایه در تهیه نقشه نهایی، ۰/۵۴ است. پس NDVI از دیدگاه آنتروپی شانون مهمترین فاکتور در وقوع سیل می باشد و کم تاثیرترین آن نیز انحنای زمین می باشد.







شکل ۲: نقشه های ورودی: (a) شبیب، (b) ارتفاعی زمین، (c) ارتفاعی از رودخانه، (d) فاصله از رودخانه، (e) طبقات ارتفاعی (f) SPI (g) TWI (h) بارندگی (i) لیتو لورزی (j) کاربری اراضی (j)

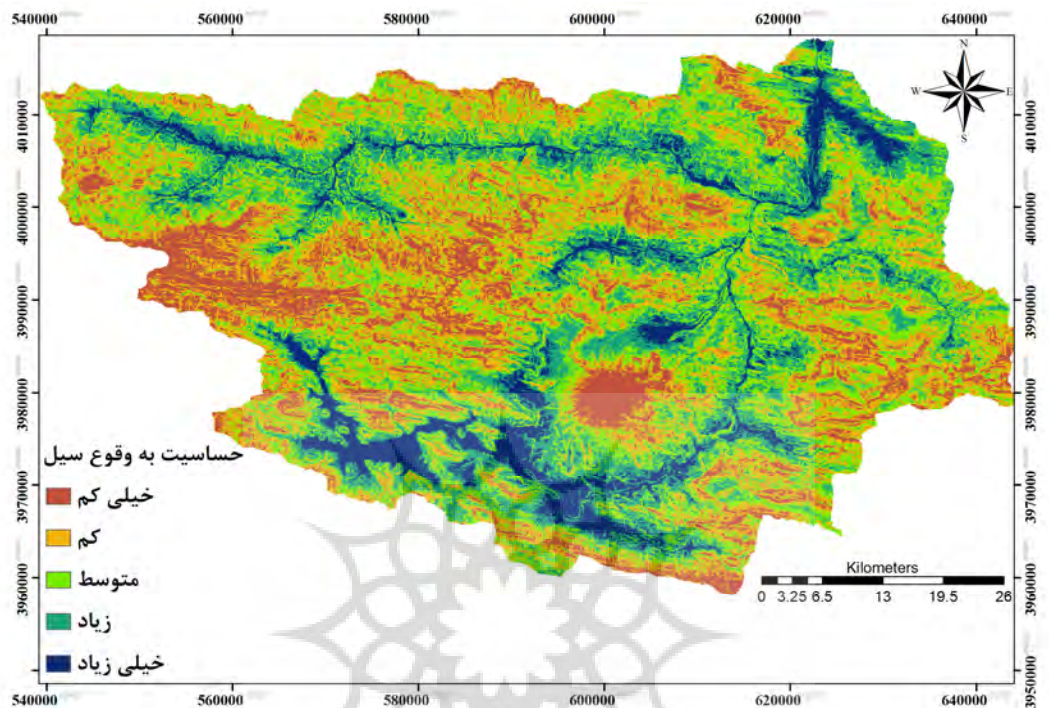
به منظور تهیه نقشه حساسیت به وقوع سیل، ۱۰ فاکتور فوق تهیه شدند و پس از وزن نهایی هر عامل توسط مدل آنتروپی شانون و ضرب آن در کلاسهای عامل مذکور، نقشه های وزنی باهم جمع شده و نقشه نهایی حساسیت به وقوع سیل تیه گردید. سپس نقشه نهایی براساس روش Natural break (Bednarik et al, 2010; Tehrany et al, 2014) به ۵ کلاس حساسیت خیلی کم، کم، متوسط، زیاد و خیلی زیاد تقسیم بندی گردید که در شکل ۳ نشان داده شده است. در شکل ۴ نیز نقشه احتمال به وقوع سیل که بین ۰ تا ۱ قرار دارد نشان داده شده است.

جدول ۱: ارتباط بین سیلاب، عوامل موثر و تعیین میزان تاثیر آنها با استفاده از مدل آنتروپی شانون

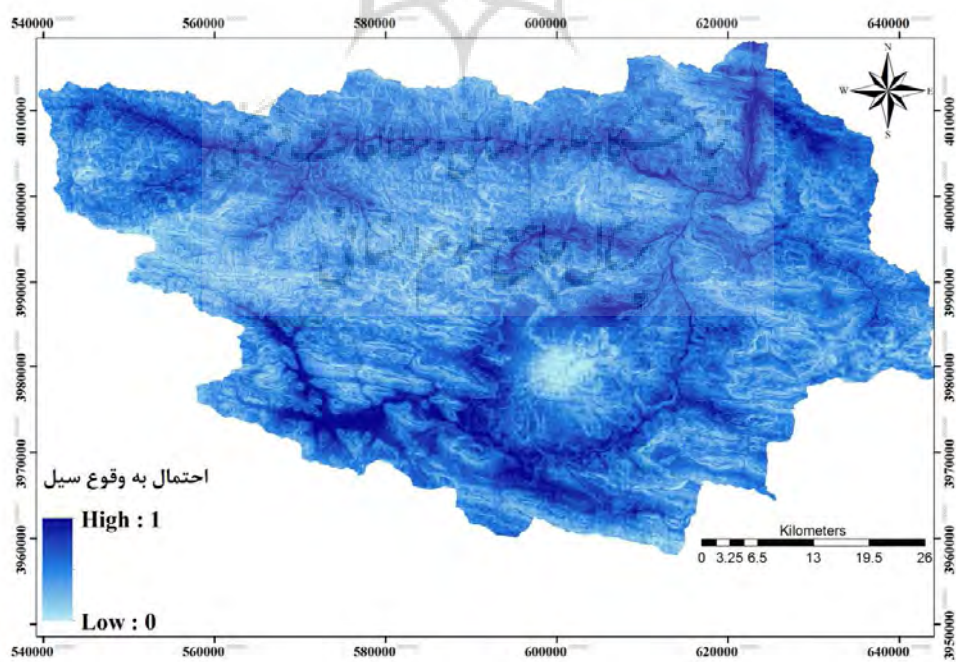
Vj	Ij	Hjmax	Hj	Eij	FR	% وقوع سیل	% پیکسل ها	کلاس	پارامتر
۰/۸۴۷	۰/۴۴	۲/۳۲۲	۱/۳۰۰	۰/۶۹۱	۶/۶۴	۳۱/۱۳	۴/۶۹	۵/۷-۰	شبیب
				۰/۲۱۱	۲/۰۳	۴۶/۳۶	۲۲/۸۵	۱۵/۹-۵/۷	
				۰/۰۴۸	۰/۴۷	۱۴/۵۷	۳۱/۲۹	۲۴/۶-۱۵/۹	
				۰/۰۱۰	۰/۱۰	۲/۶۵	۲۷/۴۰	۳۳/۲۵-۲۴/۶	
				۰/۰۴۰	۰/۳۸	۵۵/۳۰	۱۳/۷۷	۶۶/۷۷-۳۳/۲۵	
۰/۱۳۶	۰/۱۳۰	۱/۵۸۵	۱/۳۸۰	۰/۱۱۹	۰/۳۷	۱۵/۲۳	۴۰/۶۲	محدب	انحنای زمین
				۰/۳۶۰	۱/۱۴	۲۹/۱۴	۲۵/۶۲	مسطح	
				۰/۵۲۱	۱/۶۵	۵۵/۶۳	۳۳/۷۶	مقعر	
۱/۱۹۴	۰/۶۹۱	۲/۵۸۵	۰/۸۰۰	۰/۱۸۶۸	۹/۰۰	۸۴/۷۷	۹/۴۲	۰-۵۰۰	فاصله از رودخانه
				۰/۰۶۵	۰/۶۷	۵/۹۶	۸/۸۶	۵۰۰-۱۰۰۰	
				۰/۰۳۷	۰/۳۹	۳/۳۱	۸/۵۶	۱۰۰۰-۱۵۰۰	
				۰/۰۱۵	۰/۱۶	۱/۳۲	۸/۲۶	۱۵۰۰-۲۰۰۰	
				۰/۰۰۸	۰/۰۸	۰/۶۶	۷/۹۷	۲۰۰۰-۲۵۰۰	
				۰/۰۰۷	۰/۰۷	۳/۹۷	۵۶/۹۴	>۲۵۰۰	

۰/۹۹۸	۰/۸۰۵	۳/۱۷۰	۱/۵۷۰	۰/۶۵۴	۱/۱۶۰	۳۹/۰۷	۳/۳۷	۳۲۸-۱۱۴۱	طبقات ارتفاعی
				۰/۱۰۳	۱/۸۳	۱۱/۹۲	۶/۵۲	۱۱۴۱-۱۶۵۸	
				۰/۱۳۸	۲/۴۴	۲۰/۵۳	۸/۴۰	۱۶۵۸-۲۰۹۳	
				۰/۰۶۵	۱/۱۶	۱۴/۵۷	۱۲/۵۵	۲۰۹۳-۲۴۵۶	
				۰/۰۴۰	۰/۷۱	۱۳/۹۱	۱۹/۷۱	۲۴۵۶-۲۷۷۰	
				۰/۰۰۰	۰/۰۰	۰/۰۰	۲۰/۰۷	۲۷۷۰-۳۰۷۵	
				۰/۰۰۰	۰/۰۰	۰/۰۰	۱۷/۲۲	۳۰۷۵-۳۴۱۷	
				۰/۰۰۰	۰/۰۰	۰/۰۰	۱۰/۹۴	۳۴۱۷-۳۹۵۴	
				۰/۰۰۰	۰/۰۰	۰/۰۰	۱/۲۲	>۳۹۵۴	
				۰/۰۰۹	۰/۱۸	۱/۹۹	۱۰/۹۱	۳/۷-۱/۸	TWI
۰/۳۰۹	۰/۱۴۵	۳/۱۷۰	۲/۷۱۰	۰/۰۰۴	۰/۰۹	۱/۹۹	۲۲/۵۲	۴/۱-۳/۸	
				۰/۰۱۲	۰/۲۶	۵/۳۰	۲۰/۵۱	۴/۵-۴/۲	
				۰/۰۳۰	۰/۶۵	۱۱/۹۲	۱۸/۴۲	۴/۹-۴/۶	
				۰/۰۸۴	۱/۷۹	۲۱/۸۵	۱۲/۱۹	۵/۳-۵	
				۰/۱۲۹	۲/۷۵	۲۱/۱۹	۷/۷۱	۵/۷-۵/۴	
				۰/۲۵۲	۵/۳۷	۲۶/۴۹	۴/۹۳	۶/۲-۵/۸	
				۰/۱۳۴	۲/۸۵	۵/۳۰	۱/۸۶	-۳/۷۶	
				۰/۲۵۴	۵/۴۲	۳/۳۱	۰/۸۱	-۸۷/۱	
				۰/۰۹۱	۱/۹۴	۰/۶۶	۰/۳۴	۱۱/۰-۸/۱	
				۰/۰۲۲	۰/۶۵	۵۵/۶۳	۸۵/۱۱	۲۷۴۳۲/۴-۰	SPI
۱/۰۹۹	۰/۳۶۹	۳/۱۷۰	۲/۰۰۰	۰/۰۶۸	۲/۰۳	۲۱/۱۹	۱۰/۴۲	-۲۷۴۳۲/۴ ۱۶۴۵۹۴/۴	
				۰/۱۷۹	۵/۳۳	۱۳/۹۱	۲/۶۱	-۱۶۴۵۹۴/۴ ۴۱۱۴۸۶/۲	
				۰/۱۶۷	۴/۹۶	۵/۳۰	۱/۰۷	-۴۱۱۴۸۶/۲ ۷۶۸۱۰۷/۵	
				۰/۰۹۷	۲/۸۷	۱/۳۲	۰/۴۶	-۷۶۸۱۰۷/۵ ۱۲۲۴۴۵۸/۶	
				۰/۴۶۸	۱۳/۹۳	۲/۶۵	۰/۱۹	-۱۲۲۴۴۵۸/۶ ۱۸۱۰۰۵۳۹/۳	
				۰/۰۰۰	۰/۰۰	۰/۰۰	۰/۰۸	-۱۸۱۰۰۵۳۹/۳ ۲۴۹۶۳۴۹/۶	
				۰/۰۰۰	۰/۰۰	۰/۰۰	۰/۰۴	-۲۴۹۶۳۴۹/۶ ۳۳۱۹۳۲۲	
				۰/۰۰۰	۰/۰۰	۰/۰۰	۰/۰۲	-۳۳۱۹۳۲۲ ۴۷۴۵۸۰۷/۵	
				۰/۰۰۰	۰/۰۰	۰/۰۰	۰/۰۰	-۴۷۴۵۸۰۷/۵ ۶۹۹۵۲۶۵/۵	

۰/۴۲۱	۰/۳۹۳	۲/۵۸۵	۱/۵۷۰	۰/۲۹۲	۰/۹۴	۳۶/۴۲	۳۸/۸۴	سنوزوییک	لیتولوژی
				۰/۳۱۸	۱/۰۲	۵۷/۶۲	۵۶/۴۳	مزوزوییک	
				۰/۳۹۳	۱/۲۶	۵/۹۶	۴/۷۳	پالنوزوییک	
۰/۲۲۳	۰/۵۷	۲/۸۰۷	۱/۲۰۳	۰/۰۱۶	۰/۹۴	۸۷/۴۲	۹۲/۵۸	مرتع	کاربری اراضی
				۰/۱۴۰	۸/۱۵	۵/۹۶	۰/۷۳	خاک لخت	
				۰/۰۱۰	۰/۵۶	۳/۳۱	۵/۹۳	جنگل	
				۰/۰۰۰	۰/۰۰	۰/۰۰	۰/۱۳	باغ	
				۰/۰۴۹	۲/۸۴	۰/۶۶	۰/۲۳	مسکونی	
				۰/۰۰۰	۰/۰۰	۰/۰۰	۰/۳۲	ارضی آبیاری	
				۰/۶۱۴	۳۵/۶۷	۲/۶۵	۰/۰۷	پهنه های آبی	
۲/۰۳۷	۰/۴۲۸	۳/۳۲۲	۱/۹۰۰	۰/۶۱۷	۲۹/۳۵	۳/۳۱	۰/۱۱	۰/۳۵--۰/۶۹-	NDVI
				۰/۰۴۰	۱/۱۸۸	۴/۶۴	۲/۴۷	۰/۱۸--۰/۳۴-	
				۰/۰۱۶	۰/۷۴	۱۱/۲۶	۱۵/۱۸	۰/۱۳--۰/۱۷-	
				۰/۰۰۷	۰/۳۱	۹/۹۳	۳۱/۸۰	۰/۰۸--۰/۱۲-	
				۰/۰۱۶	۰/۷۵	۲۱/۱۹	۲۸/۳۰	۰/۰۳--۰/۰۷-	
				۰/۰۲۹	۱/۳۷	۱۴/۵۷	۱۰/۶۳	۰/۰۵--۰/۰۲-	
				۰/۰۶۳	۳/۰۰	۹/۹۳	۳/۳۲	۰/۱۸--۰/۰۶	
				۰/۱۱۷	۵/۵۵	۱۳/۲۵	۲/۳۹	۰/۳۳--۰/۱۹	
				۰/۰۸۹	۴/۲۲	۱۰/۶۰	۲/۵۱	۰/۴۷--۰/۳۴	
				۰/۰۰۸	۰/۴۰	۱/۳۲	۳/۲۹	۰/۷۳--۰/۴۸	
۰/۵۴۵	۰/۳۶۹	۳/۱۷	۲/۰۰۰	۰/۴۰۴	۵/۳۷	۲/۶۵	۰/۴۹	۱۸۳-۲۶۷	بارندگی
				۰/۳۵۵	۴/۷۱	۱۷/۲۲	۳/۶۵	۲۶۷-۳۲۹	
				۰/۰۹۳	۱/۲۴	۲۳/۱۸	۱۸/۷۱	۳۲۹-۳۷۵	
				۰/۰۷۲	۰/۹۵	۴۱/۰۶	۴۳/۲۸	۳۷۵-۴۰۹	
				۰/۰۴۱	۰/۵۵	۱۲/۵۸	۲۳/۰۴	۴۰۹-۴۳۴	
				۰/۰۳۵	۰/۴۷	۳/۳۱	۷/۰۹	۴۳۴-۴۶۸	
				۰/۰۰۰	۰/۰۰	۰/۰۰	۲/۳۱	۴۶۸-۵۱۴	
				۰/۰۰۰	۰/۰۰	۰/۰۰	۰/۷۹	۵۱۴-۵۷۶	
				۰/۰۰۰	۰/۰۰	۰/۰۰	۰/۶۴	۵۷۶G>	



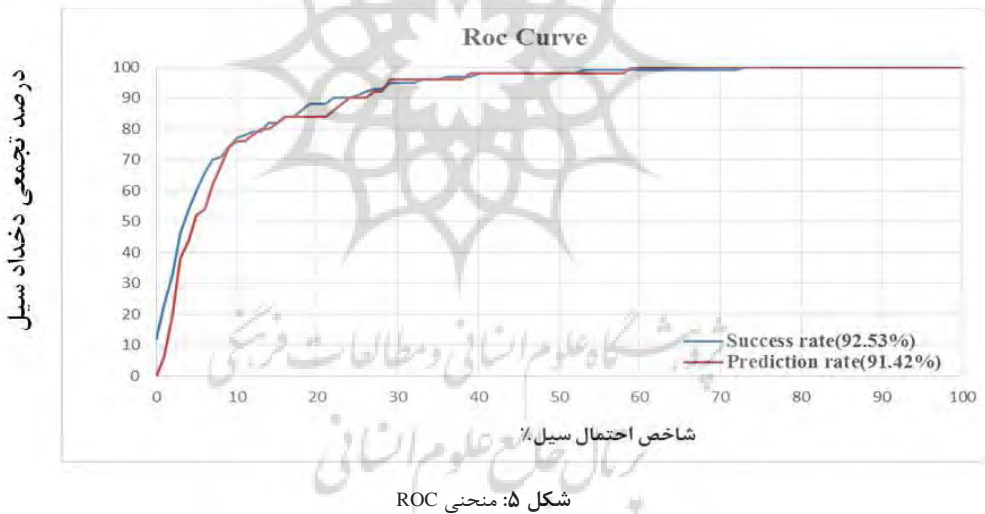
شکل ۳: نقشه حساسیت به وقوع سیل حوزه آبخیز هراز، استان مازندران، طبق مدل انتروپی شانون



شکل ۴: نقشه احتمال به وقوع سیل حوزه آبخیز هراز، استان مازندران، طبق مدل انتروپی شانون

ارزیابی نقشه

اعتبارسنجی نقشه های حساسیت تهیه شده در این مطالعه با محاسبه شاخص ویژگی های نسبی یا ROC به دست آمد (Oh and Pradhan, 2011; oh and Lee, 2010; Tehrany et al, 2015 a and b). این منحنی از کارامدترین روش ها در ارائه خصوصیت تعیینی، شناسایی احتمالی و پیش یینی سیستم هاست که میزان دقต مدل را به صورت کمی براورد می کند(Swets, 1988). در این روش، مساحت زیر منحنی یا AUC دارای مقادیر بین ۰/۵ تا ۱ بوده و از آن برای ارزیابی دقت مدل استفاده می شود (Nandi and Shakoor, 2009). بهترین مدل دارای سطح زیر منحنی نزدیک به ۱ دارد، در حالی که مقادیر نزدیک به ۰/۵ نشان دهنده عدم صحت در مدل است (Fawcett, 2006). بر اساس نتایج منحنی ROC، برای میزان پیش یینی^۱ مقدار سطح زیرمنحنی با ۶۰ درصد (۶۰ موقعیت) داده های اعتبارسنجی برابر با (۰/۹۱۴۲) یا ۹۱/۴۲٪ و برای میزان موفقیت^۲ با ۷۰ درصد داده های آموزش برابر با ۹۲/۵۳٪ می باشد (شکل ۵). پس مدل انتروپی شانون دارای صحت قابل قبول در تهیه نقشه حساسیت به قوع سیل در حوزه آبخیز هراز می باشد.



نتیجه گیری

به دلیل رخداد وقوع سیل در قسمت های شمالی کشور و روند رو به افزایش آن ها، تهیه نقشه حساسیت به وقوع سیل، پیش زمینه ای در شناخت عوامل موثر بر وقوع سیل، رخداد آن، مدیریت خطر و روش های پیشگیری از خطر و ریسک است. هدف از تحقیق حاضر اولویت بندی عوامل موثر بر وقوع سیل با استفاده از شاخص انتروپی شانون می

1 – prediction rate

2 – Success rate

باشد. پس از تهیه نقشه موقعیت سیل‌ها، ۱۰ فاکتور شیب، انحنای زمین، طبقات ارتفاعی، فاصله از رودخانه، بارندگی، SPI، TWI، لیتوژوئی، کاربری اراضی و NDVI به عنوان عوامل مؤثر در وقوع سیل حوزه آبخیز هراز در استان مازندران انتخاب شدند. اولویت بندی عوامل مؤثر در وقوع سیل توسط شاخص انتروپی شانون نشان داد که لایه‌های NDVI با وزن ۰/۰۳، فاصله از رودخانه (۰/۱)، طبقات ارتفاعی (۰/۰۹)، شیب (۰/۸۴۷)، بارندگی (۰/۰۵۴)، لیتوژوئی (۰/۰۴۲۱)، TWI (۰/۰۳۰۹)، کاربری اراضی (۰/۰۲۲۳) و انحنای زمین (۰/۰۱۳۶) به ترتیب دارای بیشترین تاثیر بر وقوع سیل می‌باشند. بر اساس نتایج منحنی ROC، برای میزان پیش‌بینی مقدار سطح زیرمنحنی با ۳۰ درصد (۶۰ موقعیت) داده‌های اعتبارسنجی برابر با (۰/۰۹۱۴۲) یا ۹۱/۴۲٪ و برای میزان موقوفیت با ۷۰ درصد داده‌های آموزش برابر با ۹۲/۰۵۳٪ می‌باشد. پس مدل انتروپی شانون دارای صحت قابل قبول در تهیه نقشه حساسیت به قوع سیل در حوزه آبخیز هراز می‌باشد. بر طبق نقشه نهایی حساسیت به وقوع سیل، اطراف رودخانه هراز دارای حساسیت به وقوع سیل بالایی می‌باشند پس از ساخت مناطق مسکونی یا باغات میوه و حتی اراضی کشاورزی در اطراف رودخانه خود داری شود، و برای مناطق مسکونی و باغات موجود تمهیداتی مانند دیواره سیل بند یا گوره ساخته شود تا از وارد امدن خسارات زیاد به این بخش‌ها جلوگیری گردد. پس تهیه نقشه‌های حساسیت به وقوع بلایای طبیعی نظری سیل، زمین لغزش و ... جهت مدیریت و برنامه‌ریزی‌های آتی لازم و واجب بوده تا از وارد آمدن خسارات جانی و مالی به این بخش‌ها جلوگیری گردد. نتایج این تحقیق برای اداره جهاد کشاورزی، منابع طبیعی، آب منطقه‌ای، وزارت نیرو و تمامی محققان و تصمیم‌گیرندگان جهت اندیشیدن تمهیدات لازم برای تخفیف سیل و کاهش خسارات مؤثر و ضروری می‌باشد.

منابع

- پورقاسمی، حمیدرضا؛ مرادی، حمیدرضا؛ فاطمی عقدا، سید محمود (۱۳۹۳). اولویت بندی عوامل مؤثر بر وقوع زمین‌لغزش و پهنه‌بندی حساسیت آن، مجله علوم آب و خاک، دوره ۱۸، شماره ۷۰، صفحات ۱۸۱-۱۹۲.
- خسروشاهی، محمد؛ ثقفیان، بهرام (۱۳۸۲). بررسی نقش مشارکت زیرحوزه‌های آبخیز در شدت سیل خیزی حوزه، مجله پژوهش و سازندگی، تابستان ۱۳۸۲، دوره ۱۶ شماره ۲، صفحات ۷۵-۶۷.
- زرین، هدایت الله؛ مقدم نیا، علیرضا؛ نام درست، جواد؛ مساعدي، ابوالفضل (۱۳۹۲). شبیه سازی رواناب خروجی در حوزه‌های آبخیز فاقد آمار با استفاده از مدل بارش رواناب AWBM در سیستان و بلوچستان، مجله پژوهش‌های حفاظت اب و خاک، دوره ۲۰، شماره ۲، صفحات ۲۰۸-۱۹۵.
- مسلمی، عبدالرضا (۱۳۸۵). آشنایی با بلایای طبیعی و شرایط غیرمتربقه واقدامات امدادی، انتشارات معاونت ترویج و مشارکت مردمی وزارت جهادسازندگی سابق. جلد اول، چاپ دوم، ص ۵۶.
- Bednarik, M., B. Magulova, M. Matys and M. Marschalko. 2010. Landslide susceptibility assessment of the Kralovany–Liptovsky Mikulaš railway case study. *Phys. Chem. Earth* 35: 162–171.
- Bronstert, A., 2003. Floods and climate change: interactions and impacts. *Risk Anal.* 23, 545–557.
- Bubeck, P., Botzen, W., Aerts, J., 2012. A review of risk perceptions and other factors that influence flood mitigation behavior. *Risk Anal.* 32, 1481–1495.
- Fawcett, T., 2006- An introduction to ROC analysis. *Pattern Recognition Letters*, V. 27, p. 861-874.

- Feng CC, Wang YC (2011) GIScience research challenges for emergency management in Southeast Asia. *Nat Hazards*, 59:597–616.
- Gokceoglu, C., Sonmez, H., Nefeslioglu, H.A., Duman, T.Y., Can, T., 2005. The 17 March 2005 Kuzulu landslide (Sivas, Turkey) and landslide-susceptibility map of its near vicinity. *Eng. Geol.* 81, 65–83.
- Kjeldsen TR (2010) Modelling the impact of urbanization on flood frequency relationships in the UK. *Hydrol Res* 41:391–405.
- Khosravi, K., Pourghasemi, H.R., Chapi, K. Bahri, M. 2016. *Environ Monit Assess*, 188: 656. doi:10.1007/s10661-016-5665-9.
- Komac, M.A. 2006. Landslide susceptibility model using the Analytical Hierarchy Process method and multivariate statistics in perialpine Sloveni. *Geomorphology* 74: 17-28.
- Kourgialas, N.N., Karatzas, G.P., 2011. Flood management and a GIS modelling method to assess flood-hazard areas—a case study. *Hydrol. Sci. J.* 56, 212–225.
- Lee, M.J., J.E. Kang and S. Jeon. 2012. Application of frequency ratio model and validation for predictive flooded area susceptibility mapping using GIS. In: Geoscience and Remote Sensing Symposium (IGARSS), Munich. 895–898.
- Levy, J.K., Hartmann, J., Li, K.W., An, Y., Asgary, A., 2007. Multi-criteria decision support systems for flood hazard mitigation and emergency response in urban watersheds 1. *J. Am. Water Resour. Assoc.* 43, 346–358.
- Manandhar, B., 2010. Flood Plain Analysis and Risk Assessment of Lothal Khola, MSc Thesis, Tribhuvan University, Phokara, Nepal, pp. 64.
- Massey DS, Nancy AD (1988) The Dimensions of Residential. *Social Forces* 67(2):281–315
- Merz, B., Thielen, A.H., Goct, M., 2007. Flood Risk Mapping at the Local Scale: Concepts and Challenges, Flood Risk Management in Europe. Springer, Netherlands, pp. 231–251.
- Miller JR, Ritter DF, Kochel RC. 1990. Morphometric assessment of lithologic controls on drainage basin evolution in the Crawford Upland, south-central Indiana. *Am J Sci.* 290:569–599.
- Moore, I.D., Grayson, R.B., Ladson, A.R., 1991. Digital terrain modelling: a review of hydrological, geomorphological, and biological applications. *Hydrol. Proc.* 5, 3–30.
- Naghibi.S.A., Pourghasemi, H.R., Pourtaghi, Z.S., Rezaei A. 2014. Groundwater qanat potential mapping using frequency ratio and Shannon's entropy models in the Moghan watershed, Iran. *Earth Sci Inform*, DOI 10.1007/s12145-014-0145-7.
- Nandi, A. & Shakoor, A., 2009- A GIS-based landslide susceptibility evaluation using bivariate and multivariate statistical analyses. *Engineering Geology*, V. 110, p. 11–20.
- Nefeslioglu, H.A., T.Y. Duman and S. Durmaz. 2008, Landslide susceptibility mapping for a part of tectonic Kelkit Valley (Eastern Black Sea Region of Turkey), *Geomorphology* 94: 401-418.
- Oh, H. J. & Lee, S., 2010- Cross-validation of logistic regression model for landslide susceptibility mapping at Geneoung areas, *Korea Disaster Advances*, V. 3, p. 44–55.
- Oh, H.J., Pradhan, B., 2011. Application of a neuro-fuzzy model to landslide- susceptibility mapping for shallow landslides in a tropical hilly area. *Computer and Geoscience*, 37, 1264–1276.
- Pourghasemi, H.R., H.R. Moradi, S.M. Fatemi Aghda, C. Gokceoglu and B. Pradhan. 2012. GIS-based landslide susceptibility mapping with probabilistic likelihood ratio and spatial multi-criteria evaluation models (North of Tehran, Iran). *arabian journal of geosciences*, 7: 1857-1878.
- Pradhan, B., Oh, H.J., Buchroithner, M., 2010. Weights-of-evidence model applied to landslide susceptibility mapping in a tropical hilly area. *Geomat. Nat. Haz. Risk*, 1, 199-223
- Ramakrishna, D., M.K., Ghose, R., Vinu Chandra and A. Jeyaram. 2005. Probabilistic techniques, GIS and remote sensing in landslide hazard mitigation: a case study from Sikkim Himalayas, India. *Geocartography Int.* 20 (4): 53–58.
- Sharma, L.P., N. Patel, M. K. Ghose and P. Debnath. 2010. Influence of Shannon's entropy on landslide-causing parameters for vulnerability study and zonation-a case study in Sikkim, India. *Arab. J. Geosci.* 5 (3): 421-431.
- Swets, J.A. 1988. Measuring the accuracy of diagnostic systems. *Sci.* 240: 1285-1293.
- Taylor J, Davies M, Clifton D, Ridley I, Biddulph P (2011) Flood management: prediction of microbial contamination in large- scale floods in urban environments. *Environ Int* 37:1019–1029

- Tehrany, M.S., Lee, M.J., Pradhan, B., Jebur, M.N., Lee, S. 2014b. Flood susceptibility mapping using integrated bivariate and multivariate statistical models. Environ. Earth sci. 72(10): 4001-4015.
- Tehrany, M.S., Pradhan, B and Jebur, M.N. 2014a. Flood susceptibility mapping using a novel ensemble weights-of-evidence and support vector machine models in GIS. J. Hydrol. 512: 332-343.
- Tehrany, M.S., Pradhan, B., Jebur, M.N., 2013. Spatial prediction of flood susceptible areas using rule based decision tree (DT) and a novel ensemble bivariate and multivariate statistical models in GIS. J. Hydrol. 504, 69-79.
- Tehrany, M.S., Pradhan, B., Jebur, M.N., 2015b. Flood susceptibility analysis and its verification using a novel ensemble support vector machine and frequency ratio method. Stoch Environ Res Risk Assess 29:1149–1165.
- Tehrany, M.S., Pradhan, B., Mansor, Sh., Ahmad, N., 2015a. Flood susceptibility assessment using GIS-based support vector machine model with different kernel types. Catena 125, 91-101.
- Theil H (1972) Statistical decomposition analysis. North-Holland Publishing Company, Amsterdam
- Youssef, A.M., Pradhan, B., Hassan, A.M., 2011. Flash fl ood risk estimation along the St. Katherine road, southern Sinai, Egypt using GIS based morphometry and satellite imagery. Environ. Earth Sci. 62, 611–623.
- Yufeng S, Fengxiang J (2009) Landslide Stability Analysis Based on Generalized Information Entropy. 2009 International Conference on Environmental Science and Information Application Technology: 83–85.



Evaluation of Shannon Entropy in Order to Flood Probability and Susceptibility Mapping At Haraz Catchment

Ebrahim Nohani^{*1}, Fariba Darabi², Edris Maroufinia³, Khabat Khosravi⁴

1- Assistant prof., Department of Hydraulic Structures, Young Researchers and Elite Club, Dezful Branch, Islamic Azad University, Dezful, Iran

Email: Nohani.e@iaud.ac.ir

2- MS Student of watershed management engineering, faculty of natural resources, Sari agricultural and natural resources, Malayer University, Hamedan, Iran

3- Young Researchers and Elite Club, Mahabad Branch, Islamic Azad University, Mahabad, Iran

4- Ph.D Student of watershed management engineering, faculty of natural resources, Sari agricultural and natural resources, Mazandaran, Iran

Received: 2016.10.19

Accepted: 2017.01.08

Abstract

One of the main measures in order to financial and life damages reduction is a production of flood susceptibility mapping. In the current research, Shannon entropy has been studied to determine the flood probability and susceptibility mapping. In this research 211, flood locations were prepared. 211 flood locations are divided into two categories based on random selection: 70 % for training and 30% for validation of final map. In the next step, 10 flood conditioning factors such as slope, plan curvature, distance from the river, altitude, rainfall, stream power index, topographic wetness index, lithology, land use and NDVI was selected. By using the Shannon entropy the weight of each factor in flooding have been determined. ROC curve has been drowned and area under the curve (AUC) was determined for validation of flood susceptibility mapping by success rate and prediction rate. The result showed that AUC for success rate in entropy model was 92.53% with a prediction accuracy of 91.42%. The high accuracy of the Shannon entropy model showed that this model is proper for flood susceptibility mapping.

Keywords: Shannon Entropy, Haraz, Flood Susceptibility, AUC.